

طراحی، مدلسازی و ساخت یک مکانیزم آکریوبات و برقراری ارتباط آن با نرم افزار متلب

حسن صیدی^(۱) - عباس حروفی^(۲) - امیر زارع شهری^(۳)

(۱) کارشناس ارشد - دانشکده فنی و مهندسی، گروه مهندسی مکانیک، دانشگاه آزاد اسلامی واحد تاکستان

(۲) استادیار - دانشکده فنی و مهندسی، گروه مهندسی برق و الکترونیک، دانشگاه هرمزگان

(۳) کارشناس ارشد - گروه مهندسی برق، دانشگاه آزاد اسلامی واحد علوم و تحقیقات هرمزگان

تاریخ دریافت: زمستان ۱۳۹۱ تاریخ پذیرش: بهار ۱۳۹۲

خلاصه: امروزه کنترل سیستم‌های مکانیکی که تعداد ورودی آنها از تعداد خروجی آنها کمتر می‌باشد (Underactuated) یکی از مسائل چالش برانگیز مهندسان کنترل شده است. یکی از مثال‌های جذاب این دسته سیستم‌ها، مکانیزم دو درجه آزادی آکریوبات می‌باشد. هدف از این مقاله طراحی، مدلسازی و ساخت یک سیستم آکریوبات برای استفاده در آزمایشگاه‌های کنترل خطی، کنترل دیجیتال، رباتیک و هوش مصنوعی است. در این تحقیق ابتدا با استفاده از نرم‌افزار SolidWorks، مکانیزم مناسب (از لحاظ هزینه و سهولت ساخت) طراحی شد. سپس مکانیزم طراحی شده به صورت کاملاً دقیق ساخته شد. در مرحله بعد مدل دینامیکی سیستم ساخته شده با استفاده از معادلات اولر-لاگرانژ به دست آمد. در نهایت با استفاده از یک کارت تبادل داده (DAQ) و پیاده‌سازی تعدادی الگوریتم مناسب در محیط MATLAB، ارتباط آکریوبات و نرم‌افزار MATLAB جهت استفاده از سیستم ساخته شده به عنوان یک وسیله آزمایشگاهی برقرار گردید.

کلمات کلیدی: آکریوبات، طراحی، ساخت، Underactuated، MATLAB، DAQ

۱- مقدمه

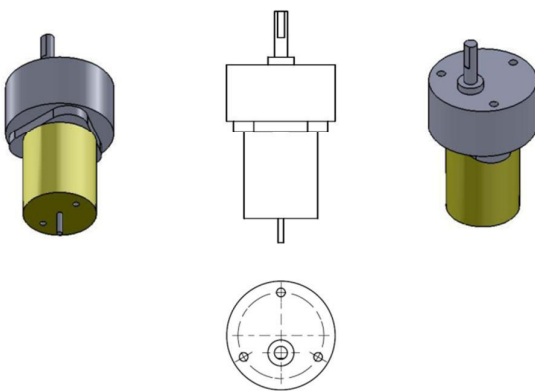
سیستم آکریوبات یک بازوی ربات Underactuated دو درجه آزادی با مفاصل دورانی است که مفصل اول آن منفعل و مفصل دوم آن فعال می‌باشد. هدف کنترلی در این سیستم، انتقال بازوها از نقطه تعادل پایدار (وضعیتی که در آن هر دو بازو به صورت کاملاً عمودی آویزان هستند) به نقطه تعادل ناپایدار (وضعیتی که در آن هر دو بازو به صورت کاملاً عمودی رو به بالا قرار دارند) است. در واقع ایده ساخت این مکانیزم از حرکت بالاتس ژیمناست‌ها بر روی وسیله بارفیکس اقتباس شده است. در این حرکت ژیمناست‌ها بر روی وسیله بارفیکس Underactuated بالاتس تنها می‌توانند از پای خود استفاده کنند و با استفاده از دست خود نمی‌توانند گشتنوار مورد نیاز را تولید نمایند. لذا در مقایسه این دو سیستم می‌توان گفت مفصل اول مکانیزم آکریوبات مانند دست ژیمناست به صورت غیر فعال است. رابط اول ربات مانند دست و بدن ژیمناست (تا قبل از پای) می‌باشد و مفصل دوم دقیقاً معادل با محل اتصال پا به بدن می‌تواند به صورت فعال عمل کند به طوری که مشهور این گونه سیستم‌ها، سیستم آونگ وارونه می‌باشد که تا کنون تحقیقات زیادی بر روی آن انجام شده است. بسیاری از سیستم‌های کاربردی دارای ماهیت Underactuated می‌باشند. برای مثال می‌توان به زیردریابی‌ها، شناورهای سطحی [۱]، ماهواره‌ها، دست‌های رباتیک [۲] و [۳]، ربات‌های متحرک و بازووهای ربات ماهر اشاره کرد [۴].

جایجایی بازوی دوم نیاز به اعمال گشتاور نسبتاً بالایی بود، موتور مورد نظر گیربکس دار انتخاب شد. شکل (۲) طرح رسم شده موتور را در نرمافزار SolidWorks نشان می‌دهد.



شکل (۱): موتور استفاده شده در این تحقیق

Fig. (1): Used motor in this study



شکل (۲): طرح پیاده‌سازی شده موتور در

Fig. (2): Plotted motor in SolidWorks

باید توجه داشت که برای کنترل آکروبات لازم است زاویه مفصل اول و زاویه مفصل دوم اندازه‌گیری شوند. بدین منظور از دو انکودر افزایشی شرکت Autonics با تفکیک پذیری ۱۰۰۰ پالس استفاده شد. شکل (۳) ظاهر انکودر استفاده شده را نشان می‌دهد. شکل (۴) طرح این انکودر را در نرمافزار SolidWorks نشان می‌دهد.



شکل (۳): انکودر استفاده شده در این تحقیق

Fig. (3): Used Encoder in this study

ژیمناست با جایجا کردن پای خود می‌تواند گشتاور لازم برای حرکت بالا نس را تولید نماید. و نهایتاً پا نقش رابط دوم را بازی می‌کند.

سیستم آکروبات ویژگی‌های بسیار مناسبی جهت استفاده در آزمایشگاه‌های کنترل و رباتیک دارد به گونه‌ای که در بسیاری از دانشگاه‌ها و مراکز تحقیقاتی دنیا به عنوان یک سیستم عملی با کارایی مناسب مورد استفاده قرار می‌گیرد [۷]-[۵]. از ویژگی‌های این سیستم می‌توان به غیرخطی بودن دینامیک آن اشاره کرد [۸]. همچنین با توجه به Underactuated بودن دینامیک سیستم آکروبات، کنترل آن در دید اول عملی به نظر نمی‌رسد. به ویژه زمانی که هدف اصلی، کنترل بازوها در وضعیتی است که ناپایدار می‌باشند. لذا این مکانیزم به راحتی می‌تواند مزیت سیستم‌های کنترل حلقه بسته را در کنترل سیستم‌های پیچیده نشان دهد. همچنین یکی از ویژگی‌های این سیستم جذابیت بصری آن است به طوری که پس از کنترل سیستم توسط کامپیوتر، هر فرد با اندک دانش کنترل نیز می‌تواند درک بهتری از مفهوم کنترل به دست آورده و به قابلیت دانش کنترل در مواجه با یک مساله چالش برانگیز پی خواهد بردا.

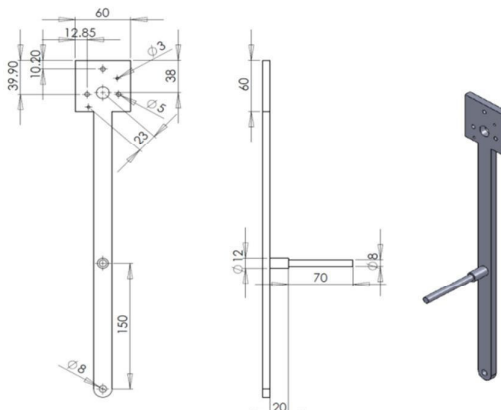
هدف از این مقاله طراحی و ساخت یک مکانیزم آکروبات با ساختار انعطاف‌پذیر به منظور استفاده در آزمایشگاه‌ها می‌باشد. بدین منظور ابتدا با استفاده از نرم افزار SolidWorks® قسمت‌های مکانیکی این سیستم طراحی شد. سپس با استفاده از معادلات اولر-لاگرانژ، مدل دینامیکی این مکانیزم به دست آمد. در نهایت با استفاده از یک کارت DAQ، بستر لازم برای اتصال این سیستم به کامپیوتر جهت پیاده‌سازی هر گونه ایده کنترلی از طریق ایزاز توانمند نرم‌افزار MATLAB® به وجود آمد.

سازماندهی مقاله به این صورت می‌باشد: در بخش (۲) طراحی و ساخت مکانیزم آکروبات بیان شده است، سپس در بخش (۳) مدل‌سازی سیستم آکروبات مورد بررسی قرار گرفته است. نحوه برقراری ارتباط بین آکروبات و کامپیوتر در بخش (۴) تشریح شده و در بخش (۵) پاسخ عملی سیستم ارائه شده است. بخش (۶) نیز به نتیجه گیری اختصاص دارد.

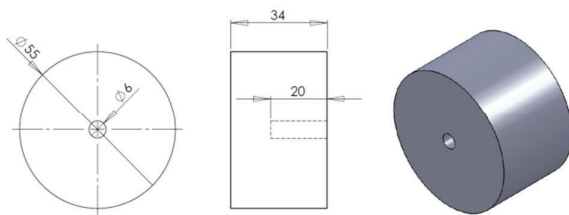
۲- طراحی و ساخت مکانیزم

یکی از نکات مهم در ساخت تجهیزات فیزیکی مانند رباتها، دقت در هنگام طراحی و در نظر گرفتن تمامی جوانب مسئله (وزن، ابعاد، جنس، هزینه، سهولت در ساخت و ...) می‌باشد. لذا در این تحقیق، با در نظر گرفتن تمامی مسائل، یک طرح اولیه ایجاد شد و سپس با استفاده از نرم‌افزار SolidWorks و تهیه و رسم دقیق تعدادی از تجهیزات مورد نیاز مانند موتور و انکودر در آن نرم‌افزار، تمامی قطعات به دقت طراحی و رسم گردید.

همان گونه که در قسمت مقدمه توضیح داده شد، برای حرکت بازوی دوم آکروبات نیاز به یک محرک می‌باشد. بدین منظور از یک موتور جریان مستقیم ۱۲ ولت (شکل (۱)) استفاده شد. از آنجا که برای

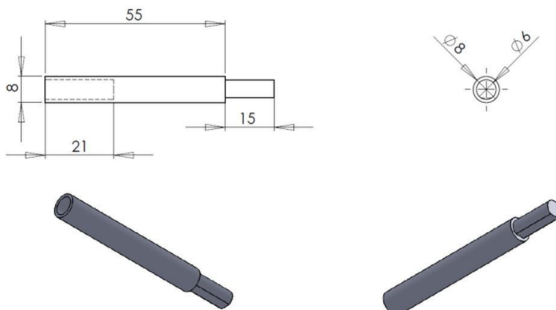


شکل (۶): نقشه بازوی اول
Fig. (6): First link design

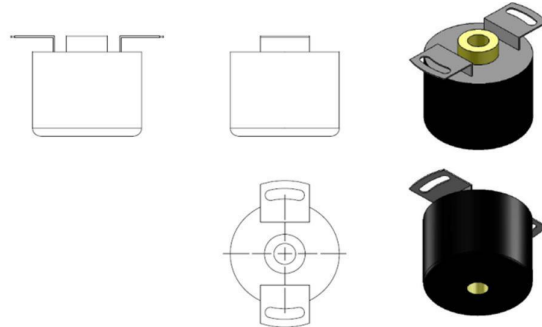


شکل (۷): نقشه وزنه تعادلی بازوی اول
Fig. (7): First link Counterweight design

از آنجا که قطر محور موتور استفاده شده دو میلیمتر کوچکتر از قطر داخلی محور توخالی انکودر بود، قطعه نشان داده شده در شکل (۸) به صورت پرسی به محور موتور متصل شد.



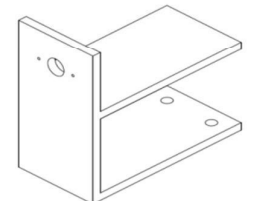
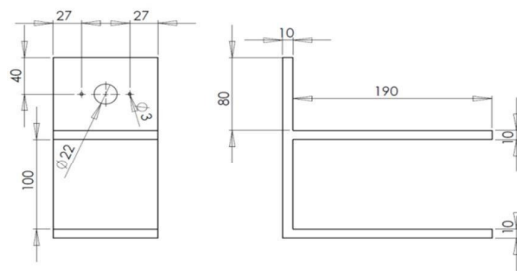
شکل (۸): نقشه رابط بین محور موتور و انکودر
Fig. (8): Motor shaft and encoder linkage design



شکل (۴): طرح پیاده‌سازی شده انکودر در SolidWorks

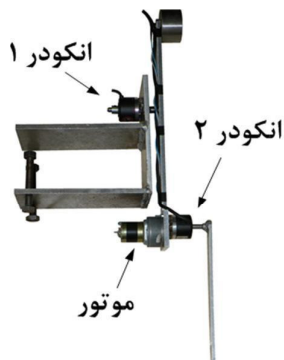
Fig. (4): Plotted encoder in SolidWorks

برای نگه داشتن بازوهای آکروبات یک پایه به نحوی طراحی شد که اولاً بتواند به راحتی به یک میز متصل گردد و ثانیاً بازوی اول و انکودر مربوط به آن را نگه دارد. این پایه با استفاده از دو پیچ به میز متصل می‌شود و برای کاهش وزن آن از جنس آلومینیوم ساخته شد. همچنین به منظور کاهش اصطکاک بازوی اول در محل اتصال آن با پایه یک سوراخ برای قرار گرفتن بولبرینگ تعبیه شد (شکل (۵)).



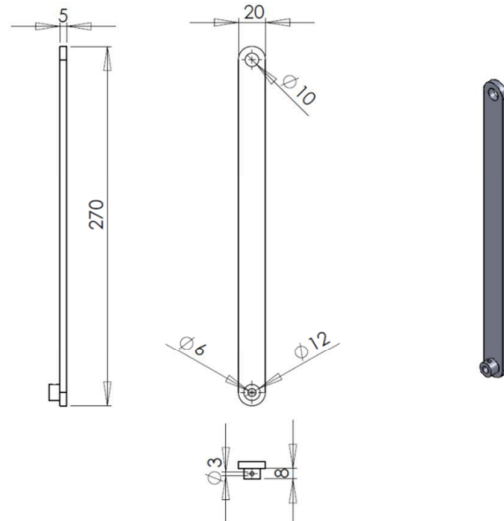
شکل (۵): نقشه پایه طراحی شده
Fig. (5): Designed base

در مرحله بعد بازوی اول طراحی شد. برای این بازو یک محور دوران در نظر گرفته شد که پس از عبور از بولبرینگ تعبیه شده در پایه، از درون محور توخالی انکودر عبور کند. همچنین سوراخ‌های لازم برای عبور پیچ‌های نگهدارنده موتور و انکودر بر روی بازو تعبیه گردید. طول بازو به نحوی در نظر گرفته شده است که در هنگام دوران بازوی اول، موتور با پایه برخوردی نداشته باشد. در شکل (۶) طرح بازوی اول با جزئیات نشان داده شده است. همچنین برای جبران وزن موتور و انکودر یک وزنه (شکل (۷)) در طرف دیگر بازوی اول در نظر گرفته شد که با استفاده از یک پیچ به انتهای بازوی اول متصل می‌شود.



شکل (۱۲): سیستم آکروبات ساخته شده

Fig. (12): Implemented Acrobot



شکل (۹): نقشه بازوی دوم

Fig. (9): Second link design

اولین گام در راه طراحی یک سیستم کنترل مناسب، به دست آوردن معادلات دینامیکی سیستم کنترل شونده می‌باشد. برای سیستم‌های فیزیکی که به صورت بازوی ربات (شامل تعدادی رابط و مفصل حرکت دورانی یا خطی) می‌باشند معمولاً معادلات دینامیک با استفاده از دو روش زیر به دست می‌آیند [۹]:

شیوه اولر-لاگرانژ^۲
شیوه نیوتون-اولر^۳

شیوه اولر-لاگرانژ بیان می‌کند که معادلات حاکم بر هر سیستم فیزیکی با n درجه آزادی به صورت زیر می‌باشد:

$$\frac{d}{dt} \frac{\partial L}{\partial \dot{q}_i} - \frac{\partial L}{\partial q_i} = \tau_i \quad i = 1, 2, \dots, n \quad (1)$$

که در آن $L = K \cdot P$ و q_i و τ_i به ترتیب میزان جابجایی (خطی یا دورانی) و گشتاور وارد شده به مفصل آم، L لاغرانژین، K انرژی جنبشی و P انرژی پتانسیل سیستم مورد نظر است.

برای یک بازوی ربات n مفصله معادلات اولر-لاگرانژ می‌تواند به صورت زیر بیان شود:

$$M(q)\ddot{q} + D(q, \dot{q}) + G(q) = \tau \quad (2)$$

که در آن $M(q)$ ماتریس اینرسی و عناصر آن با استفاده از انرژی جنبشی از رابطه زیر محاسبه می‌شود:

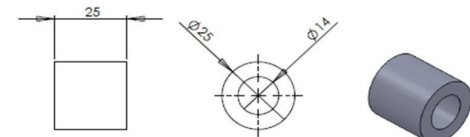
$$K = \frac{1}{2} \sum_{i,j=1}^n m_{ij}(q) \dot{q}_i \dot{q}_j = \frac{1}{2} \dot{q}^T M(q) \dot{q} \quad (3)$$

همچنین $D(q, \dot{q})$ ماتریس نیروی جانب مرکز و نیروی پیچشی می‌باشد که عنصر k ام آن به صورت زیر محاسبه می‌شود:

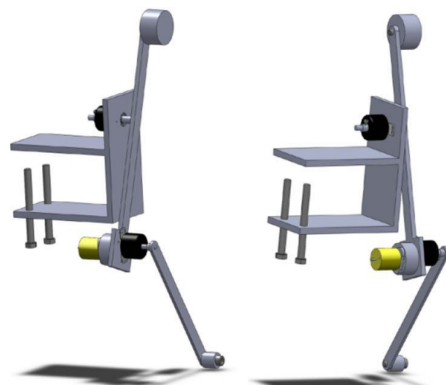
$$d_k = \sum_{i,j=1}^n d_{ijk}(q) \dot{q}_i \dot{q}_j \quad (4)$$

$$d_{ijk}(q) = \frac{1}{2} \left\{ \frac{\partial m_{kj}}{\partial q_i} + \frac{\partial m_{ki}}{\partial q_j} - \frac{\partial m_{ij}}{\partial q_k} \right\} \quad (4)$$

در شکل (۹) و شکل (۱۰) طرح بازوی دوم و وزنه تعادلی مورد نیاز برای بازوی دوم نشان داده شده است. این وزنه به منظور ایجاد گشتاور لازم برای حفظ تعادل بازوی اول در نظر گرفته شده است. همچنین در انتهای بازوی دوم سوراخی جهت اتصال وزنه در نظر گرفته شده است.

شکل (۱۰): نقشه وزنه تعادلی بازوی دوم
Fig. (10): Second link Counterweight design

پس از اتمام مراحل طراحی، ساخت سیستم بر اساس نقشه انجام شد. در شکل (۱۱) و شکل (۱۲) به ترتیب طرح نهایی سیستم آکروبات پس از مونتاژ قطعات طراحی شده و سیستم آکروبات ساخته شده نشان داده شده است.



شکل (۱۱): طرح نهایی سیستم آکروبات

Fig. (11): Final design of Acrobot

(۱۴)

بنابراین انرژی جنبشی ناشی از حرکت خطی به صورت زیر محاسبه می‌شود:

$$\frac{1}{2}m_1v_{c_1}^T v_{c_1} + \frac{1}{2}m_2v_{c_2}^T v_{c_2} = \frac{1}{2}\dot{q}^T \left\{ m_1 J_{v_{c_1}}^T J_{v_{c_1}} + m_2 J_{v_{c_2}}^T J_{v_{c_2}} \right\} \dot{q} \quad (10)$$

برای سرعت زاویه‌ای بازوی اول و دوم نیز روابط زیر برقرار است:

$$\omega_1 = \dot{q}_1 \quad (11)$$

$$\omega_2 = \dot{q}_1 + \dot{q}_2 \quad (12)$$

در نتیجه، انرژی جنبشی ناشی از حرکت دورانی بدین شکل به دست می‌آید:

$$\frac{1}{2}\dot{q}^T \left\{ I_1 \begin{bmatrix} 1 & 0 \\ 0 & 0 \end{bmatrix} + I_2 \begin{bmatrix} 1 & 1 \\ 1 & 1 \end{bmatrix} \right\} \dot{q} \quad (13)$$

با استفاده از (۱۰) و (۱۳)، می‌توان ماتریس اینترسی را به صورت زیر محاسبه کرد:

$$M = m_1 J_{v_{c_1}}^T J_{v_{c_1}} + m_2 J_{v_{c_2}}^T J_{v_{c_2}} + I_1 \begin{bmatrix} 1 & 0 \\ 0 & 0 \end{bmatrix} + I_2 \begin{bmatrix} 1 & 1 \\ 1 & 1 \end{bmatrix} \quad (14)$$

با انجام مقداری محاسبات مثلثاتی، معادله (۱۴) به صورت زیر به دست می‌آید:

$$M = \begin{bmatrix} m_{11} & m_{12} \\ m_{21} & m_{22} \end{bmatrix} \quad (15)$$

که در آن:

$$\begin{aligned} m_{11} &= m_1 L_{g1}^2 + I_1 + m_2 L_{g2}^2 + I_2 + m_2 L_1^2 + 2m_2 L_1 L_{g2} \cos q_2 \\ m_{12} &= m_2 L_{g2}^2 + I_2 + m_2 L_1 L_{g2} \cos q_2 \\ m_{21} &= m_2 L_{g2}^2 + I_2 + m_2 L_1 L_{g2} \cos q_2 \\ m_{22} &= m_2 L_{g2}^2 + I_2 \end{aligned} \quad (16)$$

با استفاده از (۱۶) و (۴)، ماتریس نیروی جانب مرکز و نیروی پیچشی به صورت زیر به دست می‌آید:

$$D(q, \dot{q}) = \begin{bmatrix} -m_1 L_1 L_{g2} (2\dot{q}_1 \dot{q}_2 + \dot{q}_2^2) \sin q_2 \\ m_2 L_1 L_{g2} \dot{q}_1^2 \sin q_2 \end{bmatrix} \quad (17)$$

روابط (۱۸) و (۱۹) به ترتیب انرژی پتانسیل محاسبه شده برای بازوی اول و بازوی دوم را نشان می‌دهند:

$$P_1 = m_1 g L_{g1} \cos q_1 \quad (18)$$

$$P_2 = m_2 g (L_1 \cos q_1 + L_{g2} \cos (q_1 + q_2)) \quad (19)$$

بنابراین انرژی پتانسیل کل سیستم برابر است با:

$$P = (m_1 L_{g1} + m_2 L_1) g \cos q_1 + m_2 L_{g2} g \cos (q_1 + q_2) \quad (20)$$

و ماتریس $G(q)$ به صورت زیر محاسبه می‌شود:

$$G(q) = \begin{bmatrix} -(m_1 L_{g1} + m_2 L_1) g \sin q_1 - m_2 L_{g2} g \sin (q_1 + q_2) \\ -m_2 L_{g2} g \sin (q_1 + q_2) \end{bmatrix} \quad (21)$$

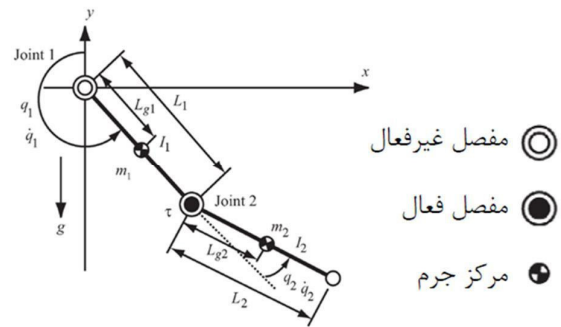
بدین ترتیب تمامی عناصر مورد نیاز جهت به دست آوردن معادلات دینامیکی سیستم آکروبات به دست آمده است. تنها مشکل این روابط تعداد بالای پارامترهای مجهول سیستم می‌باشد. می‌توان با تعریف پارامترهای $\theta_1, \dots, \theta_5$ به صورت روابط (۲۲)، پارامترهای مجهول را به پارامتر تقلیل داد:

(۱۵)

همچنین برای محاسبه $G(q)$ داریم:

$$g_k(q) = \frac{\partial P}{\partial q_k} \quad (5)$$

برای مدلسازی آکروبات طرح شماتیک سیستم به صورت نشان داده شده در شکل (۱۳) فرض شد.



شکل (۱۳): طرح شماتیک آکروبات

Fig. (13): Schematic diagram of Acrobot

که در آن:

q_1 : زاویه بازوی اول

q_2 : زاویه بازوی دوم

m_1 : جرم بازوی اول

m_2 : جرم بازوی دوم

L_1 : طول بازوی اول

L_2 : طول بازوی دوم

L_{g1} : فاصله مفصل اول تا مرکز جرم بازوی اول

L_{g2} : فاصله مفصل دوم تا مرکز جرم بازوی دوم

I_1 : لختی بازوی اول

I_2 : لختی بازوی دوم

τ : گشتاور ناشی از موتور

با فرض $q = [q_1 \ q_2]^T$ سرعت حرکت خطی مرکز جرم بازوی اول و

بازوی دوم به ترتیب به صورت نشان داده شده در روابط (۶) و (۷) محاسبه می‌شوند:

$$v_{c1} = J_{v_{c1}} \dot{q} \quad (6)$$

$$v_{c2} = J_{v_{c2}} \dot{q} \quad (7)$$

که در آنها داریم:

(۸)

$$J_{v_{c1}} = \begin{bmatrix} -L_{g1} \cos q_1 & 0 \\ -L_{g1} \sin q_1 & 0 \\ 0 & 0 \end{bmatrix}$$

$$J_{v_{c2}} = \begin{bmatrix} -L_1 \cos q_1 - L_{g2} \cos (q_1 + q_2) & -L_{g2} \cos (q_1 + q_2) \\ -L_1 \sin q_1 - L_{g2} \sin (q_1 + q_2) & -L_{g2} \sin (q_1 + q_2) \\ 0 & 0 \end{bmatrix} \quad (9)$$

$$\begin{aligned} & \left[\begin{array}{cc} \theta_1 + \theta_2 + 2\theta_3 \cos q_2 & \theta_2 + \theta_3 \cos q_2 \\ \theta_2 + \theta_3 \cos q_2 & \theta_2 \end{array} \right] \ddot{q} \\ & + \left[\begin{array}{c} -\theta_3 (2\dot{q}_1 \dot{q}_2 + \dot{q}_2^2) \sin q_2 \\ \theta_3 \dot{q}_1^2 \sin q_2 \end{array} \right] \\ & + \left[\begin{array}{c} \theta_6 \dot{q}_1 + \theta_7 \operatorname{sgn}(\dot{q}_1) \\ \theta_8 \dot{q}_2 + (\theta_9 + \theta_{10} e^{-\theta_{11} |\dot{q}_2|}) \operatorname{sgn}(\dot{q}_2) \end{array} \right] \\ & + \left[\begin{array}{c} -\theta_4 \sin q_1 - \theta_5 \sin(q_1 + q_2) \\ -\theta_5 \sin(q_1 + q_2) \end{array} \right] = \left[\begin{array}{c} 0 \\ \theta_{12} E - \theta_{13} \dot{q}_2 \end{array} \right] \end{aligned} \quad (26)$$

که در آن پارامترهای $\theta_1 \dots \theta_{13}$ می‌وابتی می‌باشند که لازم است با استفاده از الگوریتم‌های شناسایی محاسبه شوند.

۴- برقراری ارتباط با کامپیوتر

همان گونه که در قسمت مقدمه گفته شد، هدف از این مقاله ساخت یک وسیله آزمایشگاهی است که بتوان ایده‌های کنترلی را بر روی آن پیاده‌سازی نمود. لذا باید عملیات شناسایی پارامترها، طراحی کنترل-کننده و پیاده‌سازی کنترل-کننده توسط کامپیوتر انجام شود. بدین منظور، لازم است ارتباط بین کامپیوتر و سیستم آکروبات از طریق یک مدار واسطه برقرار شود. با توجه به این که تمامی این مراحل با استفاده از نرم‌افزار متلب انجام می‌گیرد، باید مدار واسطه انتخاب شود که توسط نرم افزار متلب قابل شناسایی باشد. از این‌رو، در این تحقیق از کارت تبادل داده PCI-1751 استفاده شد (شکل ۱۴). این کارت از طریق اسلات PCI به کامپیوتر متصل می‌شود و دارای ۴۸ ورودی و خروجی دیجیتال می‌باشد که می‌توانند تبادل داده را با فرکانس ۱ MB/Sec انجام دهند. ولی باید توجه داشت که مزیت اصلی این کارت این است که به راحتی می‌تواند از طریق جعبه ابزار Real-Time Windows Target™ با محیط Simulink® متصل ارتباط برقرار کند. این مساله از این جنبه دارای اهمیت خاص می‌باشد که برای پیاده‌سازی کنترل-کننده حتماً لازم است که شبیه‌سازی در حالت Real-Time انجام گیرد.



شکل (۱۴): کارت تبادل داده PCI-1751
Fig. (14): PCI-1751 DAQ card

برای تغذیه موتور و انکودورها، یک مدار الکترونیکی نیاز بود که سطوح ولتاژ مورد نظر را فراهم کند. بدین منظور با استفاده از یک درایور

$$\begin{aligned} \theta_1 &= m_1 L_{g1}^2 + I_1 + m_2 L_1^2 \\ \theta_2 &= m_2 L_{g2}^2 + I_2 \\ \theta_3 &= m_2 L_1 L_{g2} \\ \theta_4 &= (m_1 L_{g1} + m_2 L_1) g \\ \theta_5 &= m_2 g L_{g2} \end{aligned} \quad (22)$$

با این فرض معادلات دینامیکی سیستم آکروبات به صورت زیر به دست می‌آید:

$$\begin{aligned} M(q)\ddot{q} + D(q, \dot{q}) + G(q) &= \begin{bmatrix} 0 \\ \tau_2 \end{bmatrix} \\ M(q) &= \begin{bmatrix} \theta_1 + \theta_2 + 2\theta_3 \cos q_2 & \theta_2 + \theta_3 \cos q_2 \\ \theta_2 + \theta_3 \cos q_2 & \theta_2 \end{bmatrix} \\ D(q, \dot{q}) &= \begin{bmatrix} -\theta_3 (2\dot{q}_1 \dot{q}_2 + \dot{q}_2^2) \sin q_2 \\ \theta_3 \dot{q}_1^2 \sin q_2 \end{bmatrix} \\ G(q) &= \begin{bmatrix} -\theta_4 \sin q_1 - \theta_5 \sin(q_1 + q_2) \\ -\theta_5 \sin(q_1 + q_2) \end{bmatrix} \end{aligned} \quad (23)$$

این معادلات حرکت بازوها را در وضعیت ایده‌آل و زمانی که هیچ گونه اصطکاکی وجود ندارد مدل می‌کنند. برای تکمیل و واقعی‌تر نمودن این مدل لازم است ترم اصطکاک نیز به معادلات اضافه شود. مدل-سازی اصطکاک در مفصل اول بعلت اینکه این مفصل غیر فعال است و از طریق یک بولبرینگ به پایه دستگاه متصل شده است ساده‌تر از مفصل دوم می‌باشد. بازوی دوم از طریق یک موتور گیربکس دار به بازوی اول متصل شده است، این مساله مقدار اصطکاک مفصل دوم را به مراتب بیشتر و غیر خطی تر می‌کند. برای مدل‌سازی این نوع اصطکاک لازم است ترمی در نظر گرفته شود تا در سرعت‌های کم اصطکاک بالا را از خود نشان دهد. از این‌رو، اصطکاک دو مفصل، به صورت زیر در نظر گرفته شده است [۱۰] و [۱۱]:

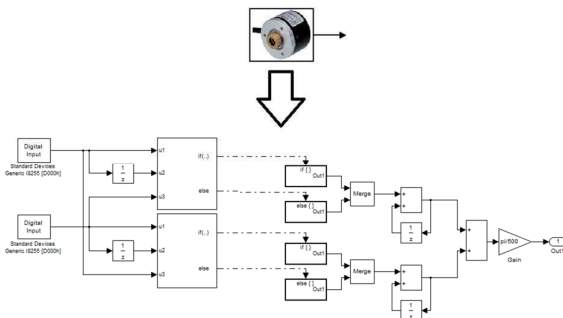
$$F = \begin{bmatrix} \theta_6 \dot{q}_1 + \theta_7 \operatorname{sgn}(\dot{q}_1) \\ \theta_8 \dot{q}_2 + (\theta_9 + \theta_{10} e^{-\theta_{11} |\dot{q}_2|}) \operatorname{sgn}(\dot{q}_2) \end{bmatrix} \quad (24)$$

که در آن $\theta_6 \dots \theta_{11}$ پارامترهای ثابت می‌باشند.

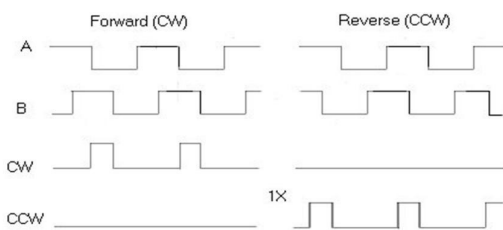
گشتاور اعمال شده در مفصل دوم ناشی از یک موتور DC می‌باشد. لذا لازم است رابطه بین گشتاور تولید شده در موتور و ولتاژ ورودی به آن تعیین گردد. با توجه به اینکه، مدل موتورهای DC شامل دو قطب الکتریکی و مکانیکی می‌باشد و پاسخ ناشی از قطب الکتریکی بسیار سریع است، می‌توان نشان داد که با صرفنظر کردن از قطب ناشی از مدار الکتریکی، این رابطه به صورت زیر بدست می‌آید:

$$\tau = \theta_{12} E - \theta_{13} \dot{q}_2 \quad (25)$$

که در آن θ_{12} و θ_{13} دو ثابت و E ولتاژ اعمال شده به موتور می‌باشند. بنابراین نهایتاً با ترکیب روابط (۲۳)، (۲۴) و (۲۵) مدل سیستم آکروبات به صورت زیر به دست می‌آید:



شکل (۱۷): زیر سیستم تشخیص زاویه انکوادر
Fig. (17): Encoder angle counting subsystem



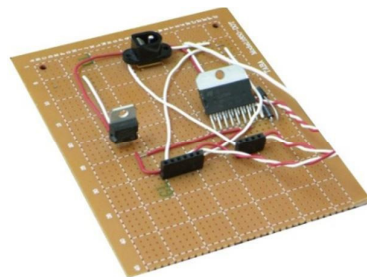
شکل (۱۸): نحوه تشخیص جهت حرکت محور انکوادر
Fig. (18): Direction of encoder rotation

در نهایت برای درک بهتر شیوه ارتباطی کامپیوتر و آکروبات می‌توان این ارتباط را از طریق دیاگرام نشان داده شده در شکل (۱۹) تشریح کرد. در واقع به هنگام شناسایی یا کنترل ابتدا مدل ایجاد شده در محیط Simulink® را کامپایل^۸ می‌کنیم. سپس مدل کامپایل شده را اجرا می‌کنیم. این مدل دائماً در هر زمان نمونه برداری از طریق کارت تبادل داده اطلاعاتی را به آکروبات می‌فرستد و از آن دریافت می‌کند. اطلاعات فرستاده شده، سیگنال PWM مورد نیاز جهت کنترل موتور می‌باشد. این سیگنال برای تقویت از سطح سیگنال ۵V با جریان کمتر به ۱۲V با جریان بیشتر به مدار درایور و از طریق آن به موتور فرستاده می‌شود. به طور همزمان تغییری در زوایای بازوها ایجاد شده و پالس‌هایی در انکوادرها تولید می‌گردد. پالس‌های تولید شده نیز از طریق کارت PCI-1751 به مدل کامپایل شده فرستاده می‌شوند. در آنچه بر اساس الگوریتم کنترلی تصمیم گرفته می‌شود که تغییری در گشتاور موتور ایجاد شود، لذا باز هم سیگنالی به سمت موتور فرستاده می‌شود و چرخه تا پایان شبیه‌سازی به همین ترتیب به صورت زمان واقعی^۹ ادامه پیدا می‌کند.

۵- پاسخ سیستم

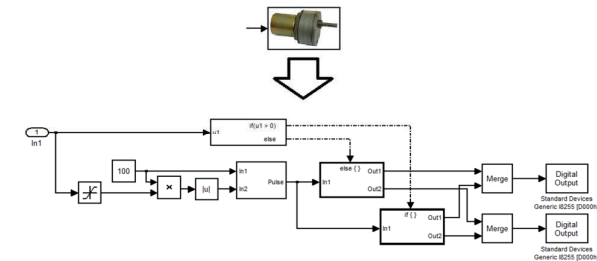
برای بررسی نحوه عملکرد سیستم ساخته شده، مکانیزم آکروبات از طریق کارت تبادل داده PCI-1751 به یک کامپیوتر با پردازنده Intel Core-i3 و حافظه DDR3 4GB متصل گردید. مشخصات به صورتی انتخاب شد که کامپیوتر قابلیت خواندن داده‌های موجود در بافر کارت تبادل داده را در زمان مناسب داشته باشد و سیستم به راحتی بتواند به صورت زمان واقعی عمل کند.

موتور (آی‌سی L298) و یک رگولاتور ۵ ولت (آی‌سی 7805) یک مدار ساده طراحی شد (شکل ۱۵)



شکل (۱۵): مدار تغذیه و درایور موتور
Fig. (15): Source and driver circuit

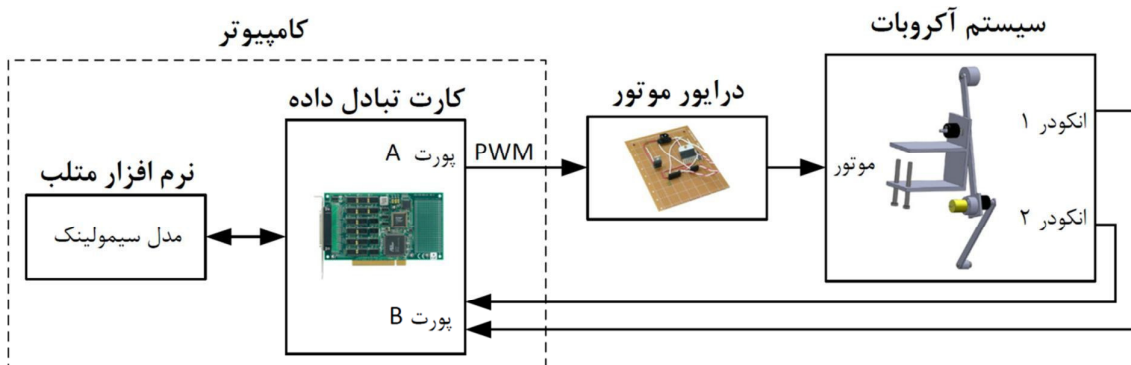
درایور موتور DC استفاده شده، نمی‌تواند یک سیگنال DC پیوسته تولید کند. بلکه تنها می‌تواند یک ولتاژ DC را قطع یا وصل نماید. لذا برای تولید یک سطح ولتاژ متغیر می‌توان یک سیگنال PWM به عنوان ورودی به این آی‌سی اعمال نمود. برای این کار یک زیر سیستم مولد پالس PWM در محیط Simulink ایجاد شد (شکل (۱۶)). این زیر سیستم یک سیگنال ورودی در بازه [۰-۱] را دریافت می‌کند و سیگنال PWM مورد نظر را تولید کرده و به پایه‌های مورد نظر کارت PCI می‌فرستد.



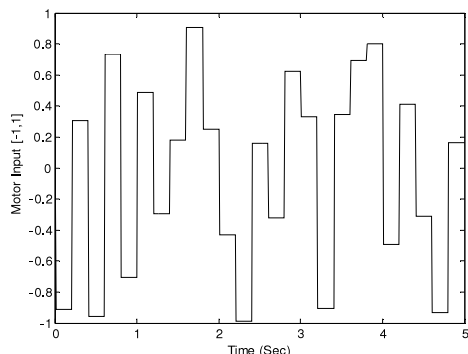
شکل (۱۶): زیر سیستم تولید پالس
Fig. (16): PWM generator subsystem

انکوادر استفاده شده در این تحقیق از نوع افزایشی^۷ می‌باشد. بدین معنی که به جای اندازه‌گیری زاویه به صورت مطلق، میزان دوران نسبت به موقعیت اولیه را با تولید پالس نشان می‌دهد. بنابراین با شمردن این پالس‌ها می‌توان به مقدار زاویه دوران دست یافت.

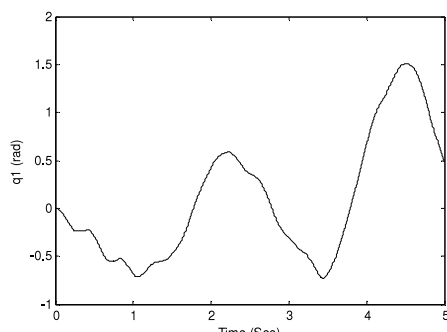
در این تحقیق، بر مبنای اصول کاری انکوادر یک زیر سیستم جهت تشخیص زاویه مفاضل در محیط Simulink® طراحی شد (شکل (۱۷)). بدین ترتیب که اگر یک لبه پایین رونده در A شخیص داده شود و رونده در B یک باشد، یک واحد به شمارنده پالس اضافه می‌شود. و اگر یک لبه پایین رونده در B شخیص داده شود و رونده در A یک باشد، یک واحد از شمارنده پالس کاسته می‌شود (شکل (۱۸)).



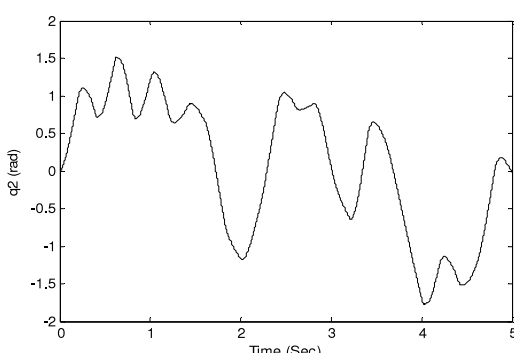
شکل (۱۹): دیاگرام ارتباطی کامپیوتر و سیستم آکروبات
Fig. (19): Interface diagram of computer and Acrobot system



شکل (۲۰): ورودی تصادفی اعمال شده به موتور
Fig. (20): Applied random signal to the motor



شکل (۲۱): زاویه بازوی اول
Fig. (21): The first link angle



شکل (۲۲): زاویه بازوی دوم
Fig. (22): The second link angle

همان گونه که در شکل (۱۹) مشاهده می‌شود سیستم آکروبات دارای ۱ ورودی (ولتاژ موتور) و ۲ خروجی (زاویه بازوی اول و زاویه بازوی دوم) می‌باشد. جهت اتصال کارت تبادل داده به ورودی موتور، پورت A کارت به صورت خروجی تنظیم گردید و همچنین برای اتصال انکودر ۱ و ۲ به کارت، پورت B به صورت ورودی تنظیم شد. ورودی موتور در واقع یک سیگنال PWM است که پس از تولید توسط بلوک مربوطه (شکل (۱۶)) به پورت A کارت تبادل داده فرستاده می‌شود.

باید توجه داشت از آنجا که ولتاژ نامی موتور جریان مستقیم استفاده شده در این تحقیق ۱۲ ولت می‌باشد، لازم است آی‌سی درایور موتور نیز با یک منبع تغذیه شود. بدین ترتیب پس از قطع و وصل ولتاژ توسط درایور، ولتاژی بین ۰ تا ۱۲ ولت حاصل می‌شود که به راحتی می‌تواند گشتاور موتور را کنترل نماید.

برای بررسی نحوه رفتار سیستم حلقه باز، یک ورودی تصادفی به سیستم اعمال شد و زوایای بازوی اول و دوم اندازه‌گیری گردید. شکل (۲۰) ورودی تصادفی اعمال شده به موتور و شکل (۲۱) و (۲۲) به ترتیب زاویه بازوی اول و دوم را در پاسخ به ورودی تصادفی نشان می‌دهد.

به علت غیرخطی بودن رفتار سیستم و تداخل شدید بین جابجایی دو بازو پیش‌بینی تأثیر پارامترهای سیستم بر روی پاسخ حلقه باز کار مشکلی می‌باشد. ولی به اطمینان می‌توان گفت که هر چه طول بازوی اول (L_1)، جرم بازوی دوم (m_2)، اینرسی بازوی دوم (I_2) یا فاصله مرکز جرم بازوی دوم (L_{g2}) بیشتر باشد تأثیر حرکت بازوی دوم بر گشتاور اعمال شده به بازوی اول بیشتر خواهد بود. به عبارت دیگر سیستم این امکان را خواهد داشت که در مدت زمان کمتری خود را به وضعیت تعادل ناپایدار نزدیک کند. ولی در این صورت لازم است موتور نیز به منظور جابجایی بازوی دوم گشتاور بیشتری اعمال نماید.

۶- نتیجه گیری

این مقاله حاصل از نتایج طرح پژوهشی با عنوان "طراحی، مدل سازی، شبیه سازی و ساخت یک بازوی روبات آکروبات همراه با سیستم کنترلی آن" می باشد که با حمایت مالی دانشگاه آزاد اسلامی واحد تاکستان انجام شده است.

پی‌نوشت:

- 1- Data Acquisition Card
- 2- Euler-Lagrange Method
- 3- Newton-Euler Method
- 4- Larangian
- 5- Kinetic Energy
- 6- Potential Energy
- 7- Incremental Encoder
- 8- Compile
- 9- Real-Time

در این مقاله یک وسیله آزمایشگاهی از دسته سیستم‌های Underactuated طراحی و ساخته شد. برای طراحی از نرم افزار SolidWorks® استفاده شد و پس از ساخت مکانیزم مورد نظر، مدل دینامیکی سیستم به منظور طراحی کنترل کننده به دست آمد. ویژگی سیستم ساخته شده این است که با بکارگیری یک کارت تبادل داده مناسب (PCI-1751) امکان برقراری ارتباط آن با ابزارهای توانمند نرم افزار MATLAB® به وجود آمده است. به طوری که تمامی مراحل شناسایی پارامترها و طراحی کنترل کننده می‌توانند درون محیط Simulink متنب پیاده‌سازی شود و اجرای هر ایده کنترلی جدید تنها با تغییر نرم افزاری مدل ایجاد شده در Simulink امکان پذیر است.

References

- [1] K.D. Do, J. Pan, "Control of ships and underwater vehicles: Design for underactuated and nonlinear marine systems", p. 2, London: Springer-Verlag, 2009.
- [2] L. Birglen, T. Lalibert, C. Gosselin, "Underactuated robotic hands", p. 1, Berlin: Springer-Verlag, 2008.
- [3] M. Mariappan, Sh.M.M. Jan, M. Iftikhar, "A novel approach for classification of underactuated mechanism in myoelectric hand", American Journal of Biomedical Engineering, Vol. 1, No. 1, pp. 35-40, 2011.
- [4] R. N. Banavar, V. Sankaranarayanan, "Switched finite time control of a class of underactuated systems", p.5, Berlin: Springer-Verlag, 2006.
- [5] A. Rodriguez, R. P. Metzger, O. Cifdaloz, T. Dhirasakdanon, "Description of a modeling, simulation, animation, and real-time control (MoSART) environment for a class of electromechanical systems", IEEE Trans. on Education, Vol. 48, No. 3, pp. 359-374, 2005.
- [6] J. Liu and R.G. Landers, "Modular control laboratory system with integrated simulation, animation, emulation, and experimental components", International Journal of Engineering Education, Vol. 21, No. 6, pp. 1005-1016, 2005.
- [7] M.W. Dunnigan, "Enhancing state-space control teaching with a computer-based assignment", IEEE Trans. on Education, Vol. 44, No. 2, pp. 129-136, 2001.
- [8] X.Z. Lai, J.H. She, S.X. Yang, M. Wu, "Comprehensive unified control strategy for underactuated two-link manipulators", IEEE Trans. on Systems, Man, and Cybernetics—Part B: Cybernetics, Vol. 39, No. 2, pp. 389-398, April 2009.
- [9] M.W. Spong, S. Hutchinson, M. Vidyasagar, "Robot modelling and control", p. 188, New York: John Wiley & Sons, 2005.
- [10] S. Cong, G. Li, X. Feng, "Parameters identification of nonlinear DC motor model using compound evolution algorithms", Proceedings of the World Congress on Engineering, June 30 - July 2, London, 2010.
- [11] S. Cong, A. De Carli, "Two advanced control strategies for dynamic friction compensation", Acta Automatic Sinica, Vol. 24, No. 2, pp. 236-240, 1998.

